

MDEA水溶液压力下选择脱 除H₂S的工业试验

四川石油管理局 天然气研究所 川东净化总厂 执笔 王开岳*

内容提要 在川东净化总厂垫江分厂第一套脱硫装置上进行了 MDEA 水溶 液压力下选择脱除 H_2 S的工业试验: 当单套处理量为 $135 \times 10^4 \text{m}^3/\text{d}$ 、压力为4MPa、R为7~10时,酸气中 H_2 S浓度不低于20%,净化气质量稳定合格。这既满足了后续的分流法克劳斯装置对酸气质量的要求,又显著降低了装置消耗及天然气加工损耗,取得了较大的经济效益。

为了给 低 H_2S 、高 CO_2/H_2S 比天然 气提供一个合适的处理 方法,在 对MDEA水 溶液的实验室研究 ¹ 和常压 下 选 择 脱 除 H_2S 工业试验的基础上,建立了一套MDEA水溶液压力下选择脱除 H_2S 的 中 试 装 置,取得了满意的结果 ²。

川东净比总厂垫江分厂在引进装置投产后改为处理低含硫天然 气,仍沿用DIPA-环丁砜溶液,原直通法克劳斯装置无法运行,为此正在建设一套分流法克劳斯装置。但在当前所处理的 气质条件下(原料气 CO_2/H_2S 比为7 \sim 10),如不采取措施,该装置建成后也难以投产。根据所作的预评价,如把脱硫装置由砜胺法改为MDEA压力选吸法,不仅可解决面临的困难,且可能获得可观的经济效益。

经过中试结果的评审,决定用垫江分厂的第一套脱硫装置进行MDEA水 溶 液 压力下选择脱除H。S的工业试验。工业试验基本重复了中试结果,这不仅为垫江分厂及在建渠县分厂提供了技术、经济较为优越的脱硫方法,并在气体净化领域内为我国增添一项新工艺,提高了我国气体净化的工艺水平。

试验装置

1.装置沿革

垫江分厂脱硫装置共三套,原设计以MEA-环丁砜溶液处理高含硫天然气,单套处理能力为125×10⁴m⁸/d,1973年建成投产,1975年进行了脱有机硫试验,通过调整操作条件保证净化气总硫不高于250mg/m³。

1976年装置溶液更换为DIPA-环丁砜溶液,取得了显著效益。1977年为了降低酸气烃含量,采取了变动富液流程等措施。

总厂引进装置于1981年投产后,垫江分厂改为处理低含硫天然 气,仍沿用DIPA-环丁砜溶液。

2.装置工艺流程

装置工艺流程示于图1。

试验前,装置除在吸收塔10层及15层塔板处利用人孔盖增加了贫液入口,增添了一个溶液配制罐,并与第二、三套脱硫装置严格隔断外,余无变动。

应当指出,装置原设计处理高含硫气, 溶液循环量大,现处理低含硫气并使用

•参加试验研究的有张煌华、罗鉴生、康中汉、熊江、李德权、任义陶、黄树成、史常梭、罗斌等同志

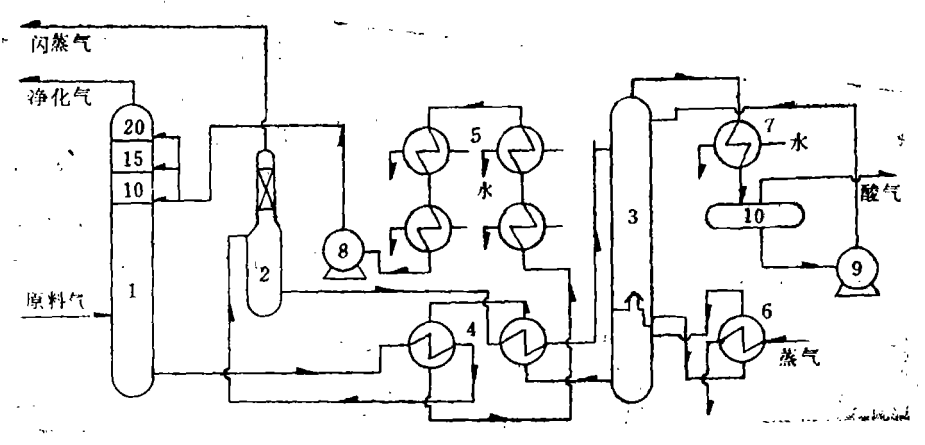


图1 验试装置工艺流程示意图

- 1 吸收塔 2 闪蒸塔 3 再生塔 4 貧富液换热器
- 5 贫液冷却器 6 重沸器 7 酸气后冷器
- 8 溶液循环泵 9 回流泵 10 酸气分离器

MDEA溶液,循环量小,故自闪蒸塔直至 再 生系统均在低负荷下运行,在计量方面也存 在气量接近或达到量程上限而液量接近量程 下限的问题。

分析方法及数据处理

1. 分析方法

- (1) 溶液浓度用酸 滴定 法,净 化 气中 H₂S用钼兰比色法,溶 液中 S₂O₃^{*}用 碘 量 法,均按四川石油管理局规定的企业标准执 行。
- (2) 原料气中H₂S及CO₂、净化气中CO₂、闪蒸气中H₂S及CO₂、酸气中H₂S、CO₂及CH₄等均使用气相色谱法,贫液、半贫液及富液的H₂S及CO₂使用酸解析一气相色谱法,均定期以四川石油管理局规定的企业标准核查。
- (3) 净化气总硫含量用硝酸汞滴 定 法,以NaOH溶液吸收气样中的H₂S及硫醇,用双硫腙作指示剂,Hg (NO₃) ₂标准溶液滴定。
- (4) 净化气中胺含量用水洗一酸 滴 定 法。

2.数据处理

根据试验装置的实际情况,为了保证数据的可靠性,在处理数据时采取了以下措施。

(1) CO₂共吸收率 (η_ε) 的计算

η_ε是试验的关键值,由于装置 酸 气无 法计量,且原料气量与净化气量接近量程上限,为此由物料平衡导出了三个只需要分析 数据计算η_ε的简化式,当其间差值 不超 过 5%时取平均值,超过5%时舍去。当 缺η_{ε2}值时,则要求η_{ε1}与η_{ε3}的差值不超 过3%,取平均值。

$$\eta_{e_4} = \frac{[CO_2]_{\bar{B}} - [CO_2]_{\bar{B}} (1 - [H_2S]_{\bar{B}})}{[CO_2]_{\bar{B}} (1 - [CO_3]_{\bar{B}})}$$

$$\eta_{e2} = \frac{34[H_2S]_{\bar{B}} ([CO_2]_{\bar{B}} - [CO_2]_{\bar{B}})}{44[CO_2]_{\bar{B}} ([H_2S]_{\bar{B}} - [H_2S]_{\bar{B}})}$$

$$\eta_{e_3} = \frac{[H_2S]_{\bar{B}}[CO_2]_{\bar{B}}}{[CO_2]_{\bar{B}}[H_2S]_{\bar{B}}}$$

- (2) 气液比按气量及液量 计算,但以分析结果核对,差别超过10%时舍去。
- (3) 选择性因子。本文考虑到 从 不同角度评价选择性的需要,使用了两种选择性因子。S₁反映了H₂S及CO₂的脱除 程度的比

值, S_2 则反映了富液中 H_2SQCO_2 量的比值。

$$S_1 = \frac{\eta_s}{\eta_s}$$

$$S_2 = \frac{[\alpha_5] \hat{\mathbf{a}}}{[\alpha_6] \hat{\mathbf{a}}}$$

上列公式中的符号说明如下:

[CO₂]及[H₂S] 为CO₂及H₂S浓度,下标原、净、酸分别为原料气、净化气及酸气,除[H₂S]_净为 mg/m³外,其余均为%;下标贫、富分别为贫液及富液,g/L₄

R一原料气 CO_2/H_2S ,分子比,

α_s--液相 H₂S 浓度, mol H₂S/mol MDEA:

α,—液相 CO₂浓度, mo lCO₂/mol MDEA,

η,--H,S脱除率, %,

η, -CO₂ 共吸收率, %,

S, --选择性因子(1):

S, -选择性因子(2)。

试验结果

试验的主要目标是在保持净化气质量稳定合格 (H₂S<20mg/m³等)的前提下获得尽可能高的选择性,因此考查了一些操作参数与净化气H₂S含量及选择性因子的关系。由于装置首先要保证生产任务的完成,加之装置本身因气质及净化方法变化导致内部能力不协调,因此,试验过程中操作参数的变动范围及稳定性均受到限制。

试验期间,吸收塔压力为 $3.6\sim4.1$ MPa,装置处理量为 $110\sim160\times10^4$ m 3 /d,溶液浓度为 $40\sim43\%$ (重),原料气 CO_2 /H $_2$ S比为 $7\sim10$,温度为 $20\sim30$ C,贫液温度为 $35\sim40$ C . 吸收塔板数除特别说明外均为15层。

1. 气液比与[H₂S]净 及选择性因子的关系 在实际操作中,气液比是影响吸收结果 和过程经济性的主要因素,故着重考查了它 对于[H₂S]净及S₁、S₂的影响。

从图2可见,[H₂S]_净随气液比上升而增加,但在试验的原料气质及工艺条件下, (H₂S)_净均小于20mg/m³。

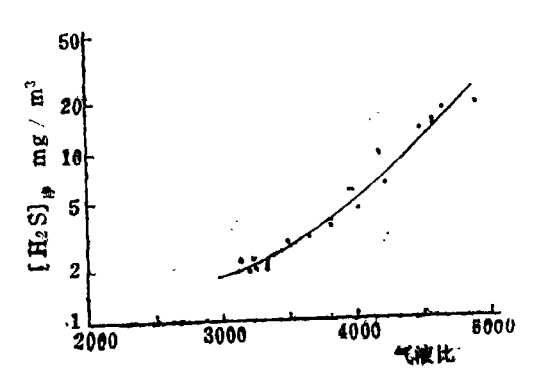


图2 净化气H.S含量与气液比的关系

图3说明,在较高的气液比下操作可获得较好的选择性。当气液比由2500增到5000时, S_1 由1.9增到3.8 左右,而 S_2 由0.28增到0.53左右,几为一倍。

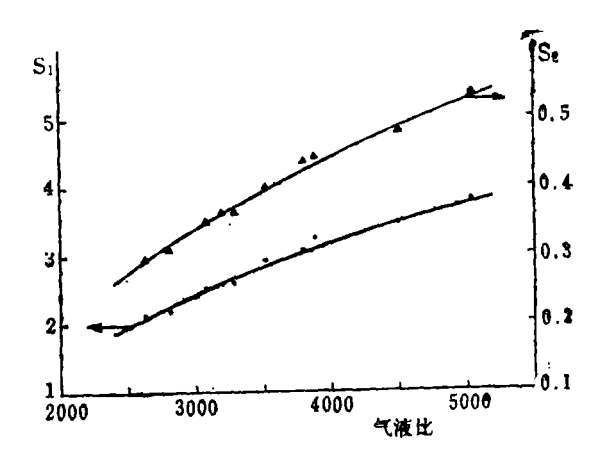


图3 气液比对选择性因子的影响

2. 吸收塔板数与 $(H_2S)_{\hat{P}}$ 及选择 性 因子的关系

为了既保证净化气质量合格, 又有较好

的选择性, 吸收塔板数的选择是重要的, 为 此。进行了贫液分别从20、15及10层塔板入 塔的试验。

图4给出了S,与塔板数的 关系,正如所 预期的,不能在何种气液比下,选择性总是 随所用的塔板数增多而下降。

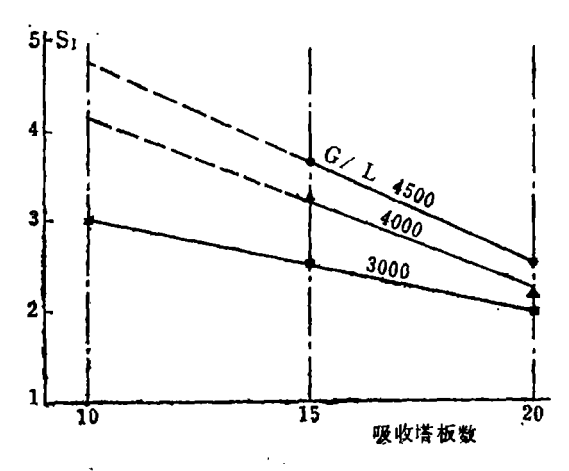


图4 吸收塔板数对选择性因子的影响

图5给出了[H₂S]净与塔板数的关系。如 图所示,它呈现出一种较复杂的情况。以15 层与20层塔板比较, 当气液比较低时, 贫液 从15层入塔所获[H2S]净高于20层。但在较 高的气液比下,贫液从20层入塔所获[H。S]。 却高于15层。这就说明,对于选择脱除H2S 过程,即使从保证[H₂S]净合格的角度而 言, 也不能笼统地认为吸收塔板数的增加总

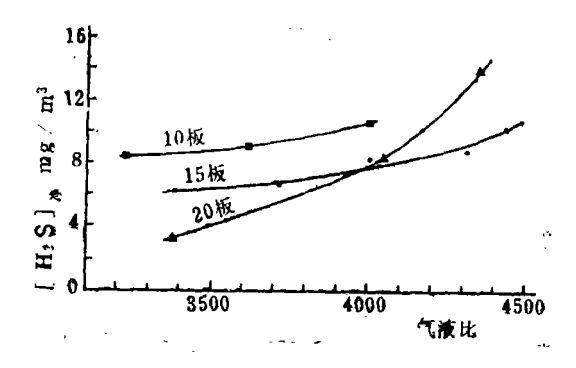


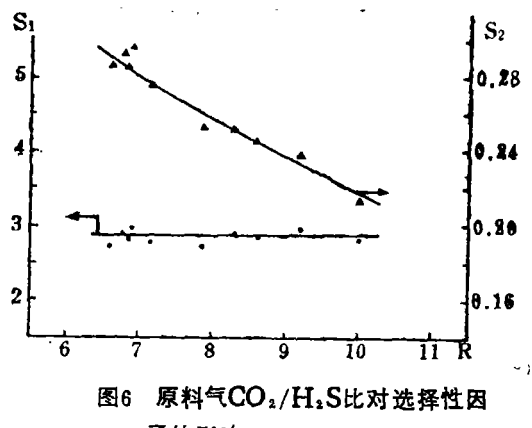
图5 吸收塔板数对净 化 气H.S含量的 影响

是有利的。这可能是选吸过程有别于非选吸 过程的一个重要差别, 值得今后 进一步 研 兖。

究其原因,看来是由于在不同的塔板数 及负荷下, CO, 吸收量的不同引起塔底富液 H,S平衡程度变化,这又导致塔板上H,S吸 收推动力改变,从而产生了图5的 这种转折 现象。

3. 原料气CO, /H, S比变化对选择性因子 的影响

在试验期间, 装置处理的原料气质因处 理量浮动而有所变化, CO。含量基本稳定, H,S含量的变化导致原料 气CO。/H。S比 变 化。在这CO2分压大体不变的情况下,如图 6所示, S, 值也大体恒定, 但S₂值 却 随R值 上升而急剧下降, 反映出酸气质量变差, 但 即使在R=10的条件下, [H,S]酸也仍然在 20%以上。



子的影响

4.蒸汽用量与贫液质量、[H2S]净的关 系

贫液质量对保证[H₂S]净合格具有关 键 作用, 而再生的蒸汽用量又直接涉及贫液质 量能否得到保证。

图7反映了在气液比适当的条件 下净化 气 H_2S 含量与贫液 H_2S 含量 间 的 关 系。可 见,在试验条件下,为了保证[H₂S]净不高

· ':

干20mg/m³, 贫液的αs值不应超过0.003 mol/mol。

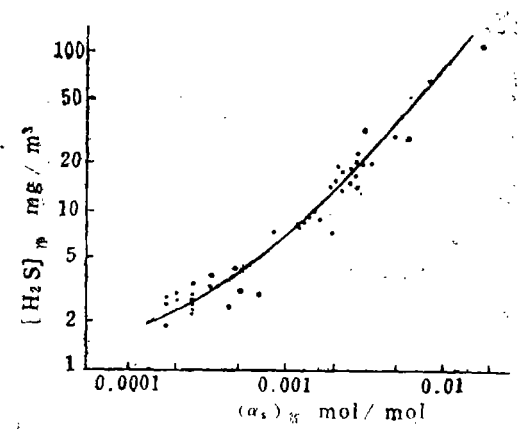


图7 净化气H,S含量与 贫 液H,S含量的 关系

图8给出了以kg蒸汽/m³循环 溶 液计的蒸汽用量与贫液 H_2 S含量的关系。可见,在蒸汽用量为120kg/m³时, α_s 即已低于0.002 mol/mol,当蒸气用量 超过150kg/m³时, α_s 值可低于0.001mol/mol。

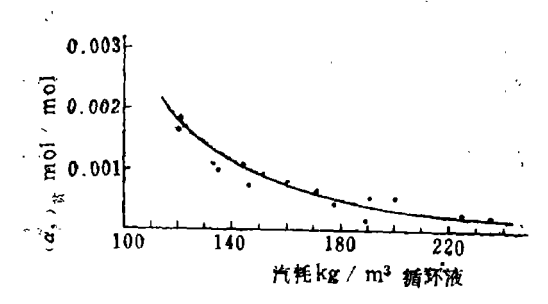


图8 贫液H₂S含量与汽耗的关系

5. 试验期间测定的其他数据

- (1) 净化气总 硫含量。如 表 1 所 示,MDEA水溶液的脱有机硫能 力 较DIPA-环丁砜溶液略差一些;但由于原料气有机硫含量本来不高,所以满足管 输 要 求 (总 硫 < 250mg/m³) 是不成问题的。
- (2) 净化气胺含量。按蒸气压 计算,净 化气中气相MDEA含量应小于1mg/m³,在 分析室内连续取样的实测值 在4~10mg/m³

表置 净化 气总统含量 表 1					
装置	1		2		3
方法	MI	DEA	飙	胺	砜胺
时 间	22/10	28/10	22/10	28/10	22/10
总 硫mgS/m³	42	54	39	39	38
处理量10 ⁴ m³/d	142.5	132.3	87.5	67.1	84,2
循环量 m³/d	15.8	14.1	42.4	32.4	67.7
气液比	3758	3910	86Ò	865	518
吸收塔板数	15	15	20	20	20
		<u> </u>		, , , , , , , , , ,	

之间。

- (3) 再生塔段的解吸率。通过贫液、半贫液及富液的分析算得H₂S及CO₂在再生塔段的解吸率均超过99%,说明MDEA溶液易于再生,保证贫液质量较易。
- (4) 闪蒸气中酸气 含量。在 闪 蒸 温 度 $40\sim50$ 及未注货液洗涤的条件下,闪蒸气中 H_2 S含量在1%左右, CO_2 在4.5%左右。

闪蒸气量未能测定, 预期将比使用**砜**胺 液时大幅度下降。

(5)溶液中 S_2O_3 "含量。在溶液储罐等未使用惰性气保护的情况下,运行980小时的溶液中 S_2O_3 "含量为0.043g/L。

讨 论

1. 工业试验结果与中间试验结果的比较

和中试比较,工业试验所得到的选择性稍差,究其原因,如表2所示,有多方面的因素,包括吸收温度较高,溶液浓度较低、气液接触时间较长及塔板型式不同等。然而,工业试验所得的酸气质量是令人满意的,但由于总包酸气负荷的限制,较差的选择性使工试可操作的气液比要低于中试。

2.与国外结果比较

国外**虽有一些MDEA压力选吸装置,**但 文献报道的数据不多,而与本试验条件相近

表 4

工试与中试选吸结果及条件比较表				
装 置	工试	中		试
塔板型式	浮阀	ŝ	舵	孔
气液比	3750	3750		
溶液浓度 %	41	45	45	30
溶液循环量 m³/h	15	0.2	0.4	0.4
平均塔温 ℃	32	21	26	24
气液接触时间 s	0.45	0.24	0.12	0.12
塔板总液层高度 m	0.75	0.42	0.42	0.42
溶液板上停留时间 min	4.5	9.3	4.6	4.6
S ₁	3.1	3.3	3.9	2.9
S ₂	0.44	0.43	0.58	0.35

而可资对比的数据就更难找到。表3列入了 凡组对比数据,其中第二列数据系预期值, 据称因采用专利溶液、贫液在吸收塔分段进 料及特种吸收塔板而可获得较好的选择性, 但尚无工业数据验证。第三、四列数据的选 择性均较本试验为差。

 本试验与国外结果比较					表 3
数据	来源	本试验	(9).	(10)	(11)
压力	MPa	4.0	3.45	4.1	5.5
R	ļ	10	5.4	11.4	700
, $S_{\underline{\iota}}$!	3.0	6.7	1.7	2.1

•预期值

应当指出,通过中试及工试,我们取得了一些难以从文献获得的认识,例如。图4 所示,在较高的气液比下,贫液于20板入塔所得净化气质量([H₂S]_净)反而不如15板入塔,如图3所示,对于一定组成的溶液,随气液比升高(即酸气负荷增加)而选择性改善等。

3.垫江分厂脱硫装置可以采用"三合一" 流程

考虑到垫江分厂脱硫装置因原料气质及脱硫方法的变化,溶液循环量降至设计值的 1/5,吸收塔后的闪蒸、换热及再生系统均处于低负荷运行,可将三套吸收塔的富液并入一套内闪蒸、换热、再生,简称为"三合一"流程,"三合一"流程与原设计的闪蒸,换热及再生系统的负荷对比示于表4

负荷对比

方 法	原设计(单套)	"三合一"
溶液	MEA-环丁砜	MDEA
溶液循环量	1	0.6
闪蒸气量	1	0.4 (预计)
酸气量	1	0.5
贫富液换热器热负荷	1	0.7
贫液冷却器热负荷	1	0.7
酸气冷凝器执负荷	1	0.5

采用"三合一"流程可以简化操作、减少溶剂投料量、降低能耗及溶剂消耗,取得更好的效益。

4.经济效益

当脱硫装置以砜胺法处理原料气时,为了解决酸气处理问题,必须新建一套酸气提浓装置。而改为MDEA压力选吸法运行后,酸气即可直接进入回收装置生产硫磺,这就可以节省酸气提浓装置的投资及操作费用,此外,脱硫装置亦可因能耗、溶剂消耗及天然气加工损耗的下降而获得重要经济效益。如表5所示,当以MEDA压力选吸法代替砜胺法并采用"三合一"流程时,预期可获得的增收节支总效益为装置使用砜胺法脱硫时消耗费用的1.38倍。

砜胺法改为**MDEA**压力 选吸法经济效益

表 5

方 法	砜胺法(三套)	MDEA ("三合一")
脱硫装置年消耗费用	-100	- 45
提浓装置年操作费用	- 22	0
加工损耗下降效益	0	+61
合 计	- 122	+ 16

结论

在垫江分厂第一套脱硫装置上进行的MDEA水溶液压力下选择脱除H₂S的工业试验表明,在处理量135×10⁴m³/d、吸收压力3.6~4.1MPa、气液比3500~4000、15层吸收塔板、蒸汽量200kg/m³循环液的条件下,当原料气CO₂/H₂S分子比为7~10时,净化气质量稳定合格,酸气中H₂S浓度达到

25~20%以上,可满足分流法克劳斯装置对 酸气质量的要求。而且,与砜胺法相比,能耗、 溶剂消耗及天然气加工损耗均有显著下降, 可取得较大的增收节支效益。

参考 文献

- [1] 四川石油管理局天然气研究所 尾 气组 "甲基二乙醇胺水溶液选择性脱除 H,S 的 研究" 《石油与天然气 化 工》 1983年 第4期 第1~9 页
- [2] 四川石油管理局天然气研究所四室、"川东脱硫总厂甲基二乙醇胺水溶液压力下选择性脱除 H.S中间试验总结" 《石油与天然]气化工》1987年 第2期第1~8页
- (3) K.F.Butwell, Oil Gas J., 79 (23) P142~147, 1981
- (4] L.S.Reid, Oil Gas J. 76 (30), P46 ~49, 1978
- (5] G.R.Daviet et al, Hydrocarbon Proc, 63 (5), P79~82, 1984 (本文收到日期 1987年5月2日)

为生产经营消费服务的权威性实用工具书《中国报纸杂志广告指南》即将出版紧急预订

为了彻底解决人们登广告难及效益不高的问题,沟通生产经营消费者与广告经营单位的渠道。在国家工商行政管理局广告司指导下,由仇天喜编写的大型信息工具书《中国报纸杂志广告指南》,今年十月由陕西人民出版社出版,公开发行。这套书详细介绍了《人民日报》等全国1200种(报刊各600)中央级、部省、地市级主要报刊的级别版面规格宗旨任务、栏目内容、读者对象,每期发行量(以今年4月为准)、广告收费标准(以今年9月份为准新价目)、刊登广告手续、报刊社地址、开户银

行、帐号、联系人及国内外广告范文、广告写作技 巧等。集服务、实用、趣味于一体,是生产经营、 消费者的挚友,也是图书馆、资料室、出版、新 闻、宣传部门必备的工具书,全书约81万字,大32 开本,每套定价9元,另加邮费0.90元。在出版印 数已经确定后,二十七个省、市一百多家报纸详细 介绍了本书,由于一次性印刷,社会需求量过大, 我们按收款先后供书,预售完为止。欢迎预订,订 不上者,及时退款。需者请直接汇款与陕西省西安 市新民街新华社陕西分社院内秋天联系。 In view of adaptability and effectiveness of the technology of water withdrawal by gas lift for the flooded wells with low pressure and high permeability in Weiyuan Gield Gas and through use, improvement, comparison and analysis, the article demonstrates that the WQ-1 inverse lift working barrel and relevant inverse lift system is a new gas lift technology having a large capacity of water withdrawal and more mobility and universality.

Zhang Deshan

STORAGE /TRANSPORTATION / SURFACE CONSTRUCTION

Design and Trial-Manufacture of GY-82 Superhigh Pressure Vessel

From material selection, structure, calculation, manufacture and detection etc., the design and trial-manufacture of GY-82 superhigh pressure vessel are more comprehensively summarized in this paper. It can give a reference to the departments of designing, manufacturing and detecting the single-layer integral forging superhigh pressure vessel.

Liu Laifu

CAS PROCESSING AND UTILIZATION

Industrial Test of Selective Removal of $H_2\,S$ by Using Aqueous MDEA at Pressur The industrial test of selective removal of $H_2\,S$ by using aqueous MDEA at pressure had been done on the first desulfurizing unit at Dianjian Brench of Chuandong Natural Gas Purificating General Plant. When the handling capacity in one unit is 135 x $10^4\,$ m³/d, pressure 4 MPa and R 7-10, the concentration of $H^2\,S$ in sour gas is not less than 20% the quality of purified gas is stable and up to standard, and so it not only satisfies the quality requirement of sour gas for the succeeding split-stream Claus unit but also obviously reduces the consumption of the unit and the loss of natural gas processing, obtaining more economic benefit.

Wang Kaiyue

Experimental Research on Tow Temperature Gas-Liquid Phase Equilibrium of Helium-Containing Natural Gas

In order to determine the data of low temperature gas-liquid equilibrium of helium-contain ing natural gas, a set of feasible experiment unit is set up and the data measured from which can provide a reliable basis for low temperature engineering design calculation of helium-containing natural gas and new product development.

Yao Renzhi